

Письма в ЖЭТФ, том 14, стр. 171 – 175

5 августа 1971 г.

ЭКСПЕРИМЕНТАЛЬНОЕ НАБЛЮДЕНИЕ НЕЛИНЕЙНОЙ ОПТИЧЕСКОЙ АКТИВНОСТИ

Д. В. Власов, В. П. Зайцев

Теоретическое рассмотрение различных механизмов нелинейной оптической активности (НОА) выполнено в ряде исследований [1 – 6]. Нелинейное приращение угла поворота плоскости поляризации для ориентационного и струкционного механизмов согласно оценкам [2] есть

$$\Delta\theta \sim 10^{-12} [\alpha] \ell l , \quad (1)$$

где $[\alpha]$ – удельное вращение, ℓ – длина области нелинейного взаимодействия, I – интенсивность лазерного импульса; а в случае теплового механизма [6]

$$\Delta\theta^T \sim 10^{-3} [\alpha] \ell k_\omega \int_{-\infty}^t I(r) dr , \quad (2)$$

где k_ω – коэффициент поглощения света. Возможность варьирования в широких пределах $\Delta\theta^T$, за счет изменения k_ω , выгодно отличает тепловой механизм НОА. В настоящей работе приводятся результаты первого экспериментального наблюдения и измерения НОА в окрашенных кристаллическом кварце и в одном растворе сернокислого L-цистина. Эффект НОА, который наблюдался нами, обусловлен поглощением энергии импульса света, излучаемого рубиновым лазером в режиме свободной генерации. Энергия импульса составляла $20 - 30 \text{ дж}$.

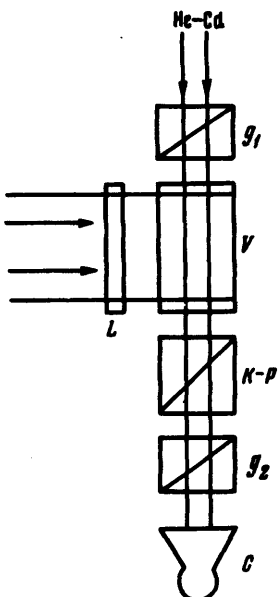


Рис. 1. Схема экспериментальной установки. L – цилиндрическая линза, V – исследуемый оптически активный образец, $K - P$ – призма Корней – Прата, g_1 , g_2 – призмы Гланна, C – скоростная кинокамера СК-1.

Нелинейный угол поворота плоскости поляризации $\Delta\theta^T$, обусловленный поглощением [6], в случае жидкости определяется величиной коэффициента расширения и поглощенной энергией и по оценкам из (2) составлял $\sim 10^\circ$. Для окрашенного кварца $\Delta\theta^T \sim 40^\circ$. Изучаемый кристалл кварца подвергался облучению рентгеновскими лучами, в результате чего приобретал темнокоричневую окраску, а раствор L-цистина подкрашивался медным купоросом. Схема экспериментальной установки показана на рис. 1. Свет импульсного лазера фокусируется цилиндрической линзой L в оптически активный образец V . В перпендикулярном направлении образец V свечивается широким пучком линейно-поляризованного света He-Cd лазера $\lambda = 4416 \text{ \AA}$ (в случае кристалла – вдоль оптической оси). За призмой Корней –

Прата [7] ($K - P$) установлена призма Г'ланна (g_2). Система полос¹⁾ фокусируется на пленку скоростной кинокамеры (C).

На рис. 2, а показано характерное изменение кривизны полос, полученное в окрашенном кварце. Измерение смещения полос (2, a 2; 2, a 3; 2, a 4) позволяет определить изменение угла поворота плос-

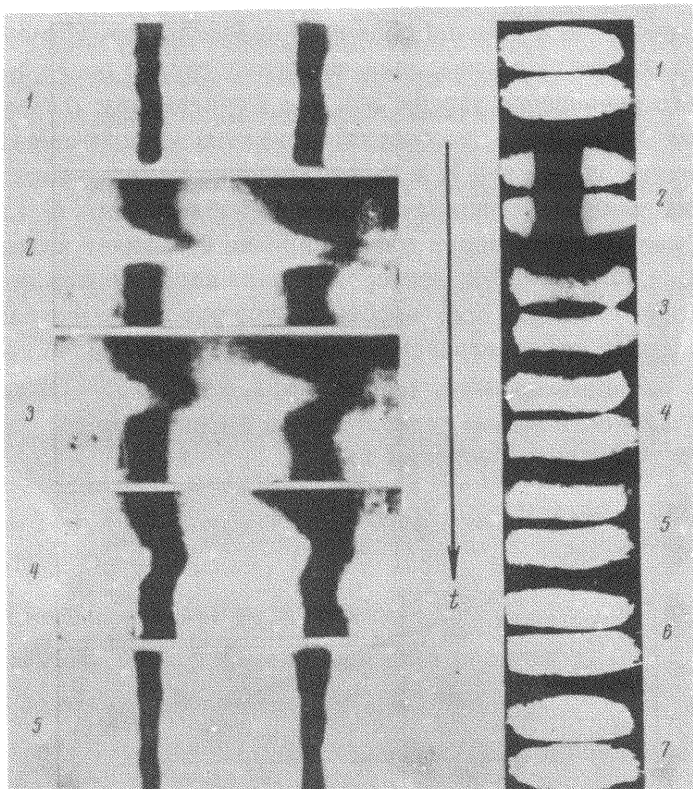


Рис. 2. Фотографии полос после анализатора. 2, а. Кристаллический кварц. 1 — до импульса рубинового лазера, 2 — $t_2 = 1,3 \cdot 10^{-3}$ сек после импульса; 3 — $t_3 = 2,6 \cdot 10^{-3}$ сек; 4 — $t_4 = 10^{-2}$ сек; 5 — $t_5 = 10^{-1}$ сек. 2, б. Водный раствор сернокислого L-цистина. 1 — до импульса рубинового лазера; 2 — $t_2 = 5 \cdot 10^{-2}$ сек; 3 — $t_3 = 6 \cdot 10^{-1}$ сек; 4 — $t_4 = 1,35$ сек; 5 — $t_5 = 2,2$ сек; 6 — $t_6 = 3$ сек; 7 — $t_7 = 5$ сек.

¹⁾Призма Корней — Прата [7] сделана из левого и правого кварцев (рис. 1) и поэтому при падающем линейно-поляризованном свете после поляризатора g_2 (рис. 1) будет наблюдаться система полос. Положение системы полос определяется только направлением колебаний электрического вектора световой волны. Поворот вектора E приводит к смещению полос. Деполяризация света лишь изменит контраст полос.

кости поляризации от времени (рис. 3), и рассчитать температуру фскальной области. Характерное время выравнивания температуры, определенное по графику рис. 3 составляет $\sim 10^{-2}$ сек, что по порядку величины совпадает со временем релаксации температуры, определяемым уравнением теплопроводности $t = \frac{\rho C a^2}{\kappa} \sim 10^{-2}$ сек, где ρ – плотность, C – удельная теплоемкость, a – характерный линейный размер, κ – коэффициент теплопроводности. Это свидетельствует о тепловом характере наблюдаемой нелинейности. Изменение угла поворота плоскости поляризации, непосредственно после прохождения импульса рубинового лазера рис. 2, а 2 составляет $\Delta \theta^T = 42 \pm 7^\circ$ при начальном $\theta_0 = 450^\circ$, что соответствует нагреванию образца на 475°C . Как видно из рисунка 2, в кристаллическом кварце тепловая дефокусировка пробного луча практически не наблюдалась. В жидкости (рис. 2, б) наоборот, тепловая дефокусировка подавляет явление НОА. Как видно из рис. 2, б 2, непосредственно после прохождения импульса рубинового лазера, свет пробного луча уходит из фокальной области вследствие дефокусировки. Искривление полос видно только в последующие моменты времени. (рис. 2, б 3; 2, б 4; 2, б 5). Таким образом в случае жидкости можно говорить лишь о качественном согласии наблюденного эффекта с расчетом [6].

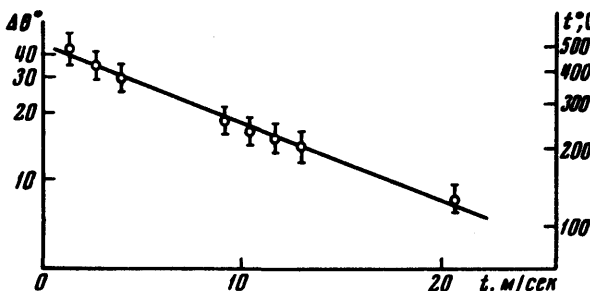


Рис. 3. По оси ординат отложено: справа – температура в логарифмическом масштабе, слева – соответствующее изменение угла поворота плоскости поляризации в кристаллическом кварце. По оси абсцисс отложено время

Сильная дефокусировка пробного луча может, вообще говоря, привести к искривлению наблюденных полос. Экспериментальное доказательство того, что влияние дефокусировки мало, было получено при повороте призмы Корней – Прата на 180° . При этом, в случае НОА меняется знак кривизны полос, в то время, как возможное влияние дефокусировки, инвариантно относительно подобного поворота. Эти контрольные эксперименты показывают, что искривление полос вследствие тепловой дефокусировки отсутствует в кварце и мало по сравнению с эффектом НОА в жидкости.

Очевидно, что методику регистрации, предложенную в этой работе, можно использовать, при соответствующем подборе масштаба временной развертки, для измерения НОА, обусловленной электрострикционным, ориентационным [2] и другими механизмами [1 - 6].

Самовоздействие света вследствие НОА может быть использовано для получения амплитудной модуляции мощных световых импульсов. Оценки показывают, что при гелиевых температурах на тепловом механизме в кварце можно получить субнаносекундную модуляцию гигантского импульса. Более короткие импульсы могут быть получены при НОА, обусловленной возбуждением внутри молекулярных степеней свободы [3], а также ориентационным механизмом [2].

Авторы глубоко благодарны И.Л.Фабелинскому за ряд ценных предложений, В.С.Старунову за критические замечания, а также Е.И.Кузнецовой за помощь в подготовке растворов.

Физический институт
Академии наук СССР

Поступила в редакцию
30 июня 1971 г.

Литература

- [1] С.А.Ахманов, В.И.Жариков. Письма в ЖЭТФ , 6, 644, 1967.
- [2] S.Kielich. J. of Opto-electronics, 1, 75, 1969.
- [3] P.A.Atkins, L.D.Barron. Proc. Royal. Soc., 304, 303, 1968.
- [4] S.Kielich. Opt. Commun., 1, 129, 1969.
- [5] С.И.Рыжикова, И.В.Гомов. Вестник МГУ, 2, 218, 1971.
- [6] Д.В.Власов. Тепловой механизм НОА (в печати).
- [7] Измерение характеристик ОКГ. М., 1969.
- [8] R.Bünnagel, H. Hahne . Zeitschrift fur Instrumentunde. 75, 389, 1967.
- [9] S.Shandrasekhar. Proc Ind. Acad. Sci, 35, 103, 1952.
- [10] R.B.Sosman. "Silica" . Ney-Jork . 1927.